

小流域의 流出解析에 關한 研究

A Study on the Runoff Analysis for Small Watersheds

江原大學校 教授 崔 禮 奎

工 誌 論

先로 發展해 가는 工業 및 農業과 막대한 人口의 增加로 물의 需要量이 急增하므로서 우리나라에도 물不足現象이 두드러지면서 물의 極大 利用을 위하여 보다 정確한 流出量을 推定하는 것은 水資源開拓을 위해서 매우 중요한 일이라고 본다.

韓國의 水資源狀況을 살펴 보면, 年間 平均 降水量이 1,159 mm로서 總水資源賦存量은 1,140 億 m^3 에達하고, 工中 河川 流下量이 662 億 m^3 이며, 蒸發 및 漏透量이 448 億 m^3 이다. 그러나, 이 可用水資源 662 億 m^3 中 61%에 해당하는 405 億 m^3 가 夏節의 淚水로 直接 流出되어 平常時 流下量은 257 億 m^3 에 불과하다.

그런데, 用水需要量을 보면, 1971年에 總流出量의 20.24% (134 億 m^3)에서 1981年에는 28.1% (186 億 m^3)이며, 2000年代에는 年間 35.7 億 m^3 이 必要하다고 하니 用水不足現象에 직면하게 되었다.

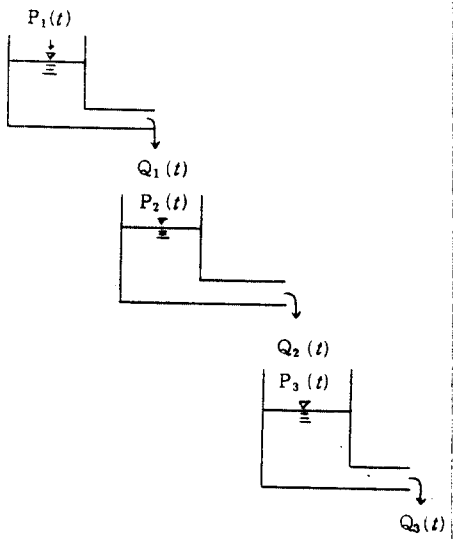
특히, 農業用水의 需要量은 1971 年에 101.69 億 m^3 이었으나, 現在는 129.3 億 m^3 으로 增加 되었고, 尚자 水利審率 90%인 124.1 万/ha 을 灌溉하기 위해서는 203.7 億 m^3 的 물이 必要하다.

그런데, 우리나라의 小流域 开發時에는 小流域에서의 設計 洪水量 水文曲線 (Design Flood Hydrograph) 的 資料가 不足하고, 中·大河川에 대해서는 大部分 建設部 所管의 資料에 의해서 分析 使用되어 왔으며, 따라서, 農業用水開發事業에 적용할만한 Model이 없어서 실제 농업용수개발사업 분야에 設計 洪水量 洪災時에는 심한 鹿路를 겪고 又는 実情의 즈음에 小流域에 대한 降雨流出의 최적 Model을 설설히 必要로 하고 있다.

本研究에서는 우리나라 半月 G-1 (5.37 km^2) 와 G-2 (4.096 km^3) 流域에 Nash-Model과 T-Model 을 적용하여 IAH(순간강수도)를 찾아내었고 実測值와 계산치를 比較·檢討 하였으며, 임의의 降雨流出量을 앞에서 찾은 IAH를 利用하여 Convolution Integral으로 계산된 유출량을 比較·分析을 하였고 objective function 을 利用하여 Optimization을 檢討 하였다.

II. 基本理論

1. Nash - Model



Nash - Model은 線型貯留의 cascade이다. 流出量 $Q(t)$ 과
流入 함수 $P(t)$ 와 관계되는
미분방정식은 常数俈數線型
方程式이다.

따라서, Time invariant
impulse response (시기 -不变
impulse)는

$$U(0, t) = \frac{1}{k} \exp\left(-\frac{t}{k}\right)$$

이다. $t > 0$ 일 때, $P(t) = 0$ 를 가지는 單位貯留減退曲
線이다. n 개의 같은 貯留에 대해서

$$U(0, t) = \frac{1}{k} \left(\frac{t}{k}\right)^{n-1} \frac{1}{(n-1)!} e^{-\frac{t}{k}}$$

Nash의 Gamma 分布에서는

$$E(t) = \int_0^\infty U(0, t) dt = n k \int_0^\infty \left(\frac{t}{k}\right)^n \frac{1}{n!} e^{-\frac{t}{k}} d\left(\frac{t}{k}\right)$$

이며, lag = $n k$ 이다.

T 時間 동안의 Block input $\frac{1}{T}$ 強度, T 時間
Unit Hydrograph은

$$U(T, t) = \frac{1}{T} \left[\int_0^t U(0, s) ds - \int_0^{t-T} U(0, s) ds \right]$$

$$= \frac{1}{T} (S_T - S_{t-T}) = \frac{1}{T} = \int_{t-T}^T u(0, \tau) d\tau$$

2. J-Model

J-Model은 Netherlands에서 地下水流 방정식으로부터 1958年に Kraijenhoff가 誘導하였다

초간 간위도의 方程式은

$$u(0, t) = \frac{8}{\pi^2} \frac{1}{j} \sum_{n=1, 3, 5, \dots}^{\infty} \exp(-\frac{n^2 t}{j})$$

여기서 j 는 貯水係數이다.

IUH의 概念과 Convolution Integral을 사용해서 Parallel 3 구조에

$$u(0, t) = \frac{8}{\pi^2} \frac{1}{j} e^{-\frac{t}{j}} + \frac{1}{9} \frac{8}{\pi^2} \frac{9}{j} e^{-\frac{9t}{j}} + \frac{1}{25} \frac{8}{\pi^2} \frac{25}{j} e^{-\frac{25t}{j}} + \dots$$

이다. 常数降雨強度 $\frac{1}{D}$ 에 대해 IUH를 Convolution 하면 S-Curve는

$$S(t) = \frac{1}{D} \frac{8}{\pi^2} \sum_{n=1, 3, 5, \dots}^{\infty} \frac{1}{n^2} \left\{ 1 - \exp\left(\frac{-n^2 t}{j}\right) \right\}$$

이다. $t > D$ 일 때 D-Hour Unit Hydrograph은

$$u(D, t) = S(t) - S(t-D)$$

이다. 웃음을 차감하면

$$u(D, t) = \frac{1}{D} \frac{8}{\pi^2} \sum_{n=1, 3, 5, \dots}^{\infty} \frac{1}{n^2} [\exp\left(\frac{n^2 t}{j}\right) - 1] \exp\left(\frac{-n^2 D}{j}\right)$$

이다.

III. 資料及方法

1. 資料

半月流域은 半月河水系에 속하는 總流域面積 1,220 ha 中 G-1 지구의 集水流域은 531.7 ha 이고, G-2 地區는 集水流域이 409.6 ha 이다.

本 地區는 自記水位計를 설치 1973, 1974, 1975 年에 걸쳐 水位를 관측하고 水位 - 流量曲線으로 부터 流出量을 얻었다.

2. 方法

降水量의 同質性 分析을 한 뒤에 半月 G-1, G-2 유역이 1974, 1975 사이에 관측한 降水 - 流出量으로부터 時間 單位圖를 Nash-Model과 T-Model에 대하여
干하고 Objective function 치로 T Model의 Optimization 精度를 알아보았다. 또한, Convolution Integral 은 3時間 유출량으로 觀測值과 計算值를 比較 分析検討하였다.

또한, 流域의 持性과 淌水量에 대한 것을 알기 위하여 Q_p , T_p , T_b 를 산출하여 相對誤差를 알아보았다.

IV. 結果と考察

(1) Unit Hydrograph

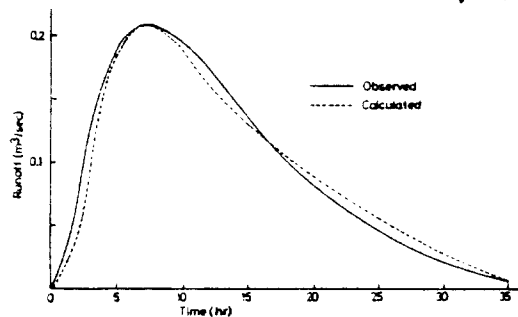


Fig. 1 Unit hydrograph of Nash-Model in
Banweol, $G = 1$

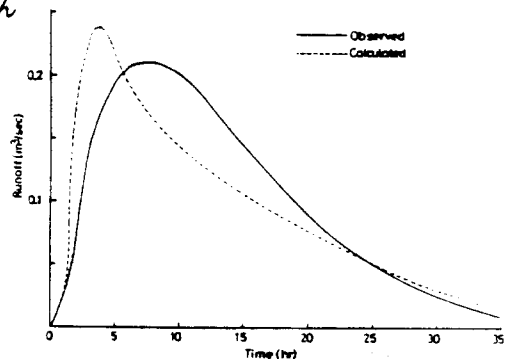


Fig. 3 Unit hydrograph of J-Model in
Banweol, $G - 1$.

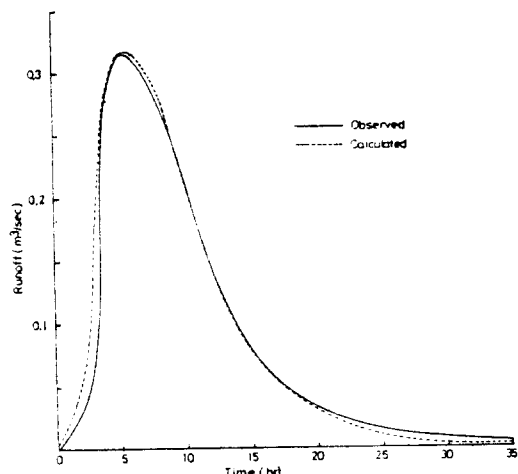


Fig. 2 Unit hydrograph of Nash-Model in
Banweol, $G - 2$.

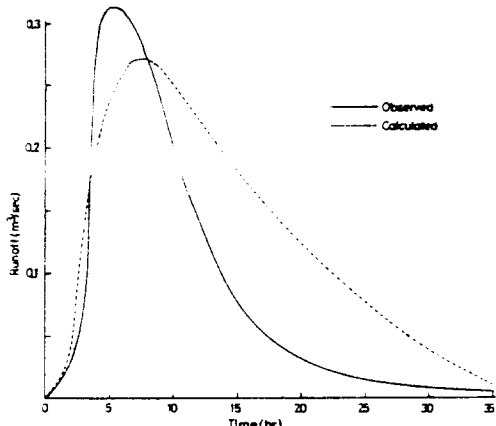


Fig. 4 Unit hydrograph of J-Model in
Banweol, $G - 2$.

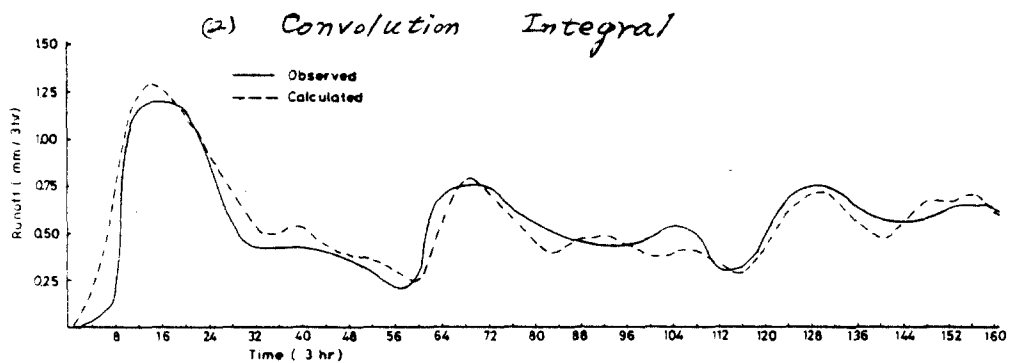


Fig. 5 Convolution of Nash - Model with 1974 - DUH at Ban Weol G-1 from 1974 .

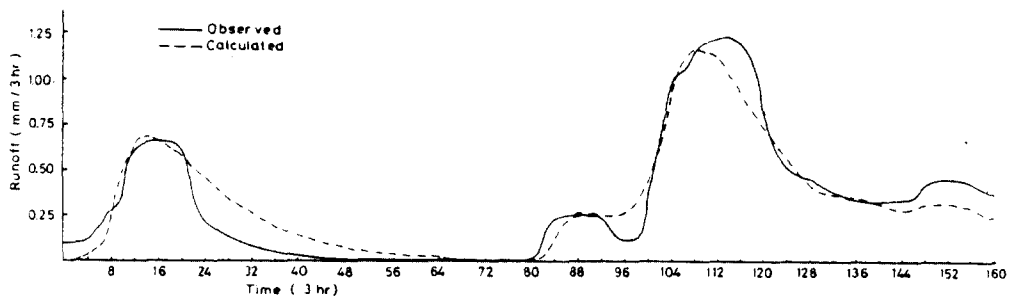


Fig. 6 Convolution of Nash - Model with 1974 - DUH at Ban Weol G-1 from 1975.

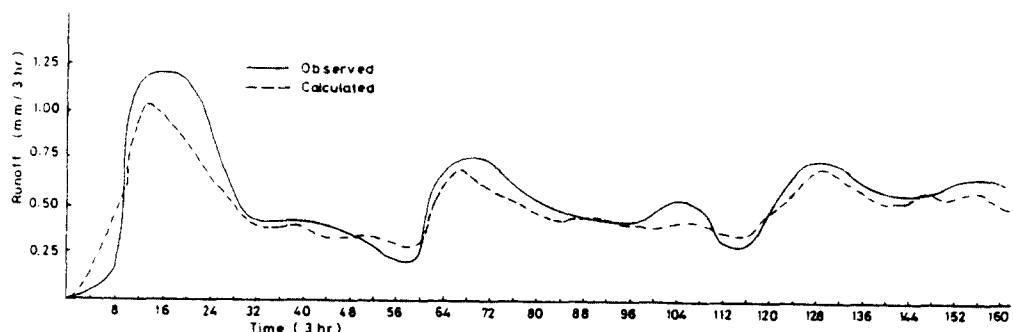


Fig. 7 Convolution of J - Model with G-1 DUH at Ban Weol G-1 from 1974.

Table 2 The Calculated J Values

| Term | Catchment | |
|---|----------------------|----------------------|
| | G - 1 | G - 2 |
| Basin area, A (km^2) | 5.317 | 4.096 |
| Total length of channels, l (km) | 6.671 | 3.486 |
| $L = \frac{A}{\sum l}$ | 0.797 | 1.175 |
| Active porosity, μ | 0.4 | 0.4 |
| Permeability, K (m/sec) | 1.5×10^{-5} | 1.5×10^{-5} |
| Depth of aquifer, D (m) | 7 | 7 |
| $J = \frac{\mu L^2}{\pi^2 K D}$ | 245.4 | 533.5 |

Table 1 Total area and Objective function Values of Models in Banweol.

| Model | Year | Number of parameter | Catchment G - 1 | | Remarks |
|-----------------|------|---------------------|-----------------|--------------------|---------|
| | | | Total area DUH | Objective function | |
| Nash-Model | 1974 | 2 | 0.6256 | 0.0054 | |
| J-Model | 1974 | 3 | 0.8173 | 0.0557 | |
| Catchment G - 2 | | | | | |
| Nash-Model | 1974 | 2 | 0.3918 | 0.0102 | |
| J-Model | 1975 | 3 | 0.1745 | 1.1511 | |

Table 3 Objective function values for Convolution Integral of various Models in Banweol

| Model | Year | Number of Parameter | Catchment G - 1 Objective function values | Remarks |
|-----------------|------|---------------------|--|---------------|
| Nash - Model | 1974 | 2 | 1.5539 | with 1974-DUH |
| Nash - Model | 1975 | 2 | 6.6749 | with 1974-DUH |
| J - Model | 1974 | 3 | 1.9365 | with G-1 DUH |
| J - Model | 1975 | 3 | 6.5086 | with G-1 DUH |
| Catchment G - 2 | | | | |
| Nash - Model | 1974 | 2 | 1.5198 | with 1974-DUH |
| Nash - Model | 1974 | 2 | 1.0769 | with 1975-DUH |
| J - Model | 1974 | 3 | 1.6798 | with G-2 DUH |
| J - Model | 1975 | 3 | 91.4302 | with G-2 DUH |

Table 4 Comparision of the observed and calculated values for Nash-Model and J-Model in Banweol

| Term | Q_p (m^3/s) | | T_b (hr) | | T_p (hr) | | $\frac{Q_{p,b} - Q_{p,c}}{Q_{p,b}} (\%)$ | |
|------------|---------------------------------|-------|------------|------|------------|------|--|-------|
| | Obs. | Cal. | Obs. | Cal. | Obs. | Cal. | | |
| Nash-Model | G-1 | 0.210 | 0.210 | 8.0 | 7.0 | 39.0 | 38.0 | 0.00 |
| | G-2 | 0.315 | 0.318 | 5.0 | 5.5 | 41.0 | 40.0 | 0.94 |
| J-Model | G-1 | 0.220 | 0.240 | 8.0 | 3.5 | 39.0 | 53.0 | 9.09 |
| | G-2 | 0.315 | 0.270 | 5.0 | 8.0 | 41.0 | 36.0 | 14.28 |

V 結論

水利構造物의 설계에 있어서 洪水量推定과 조절을 위해 무엇보다도 필요한 単位圖 유도를 위하여 本 연구에서는 小流域인 半月의 G-1 (5.319 km^2) 와 G-2 (4.096 km^2) 의 2개 유역에 Nash-Model과 T-Model을 적용하여 単位圖를 구하고 Convolution Integral表을 적용하여 다음과 같은 結論을 얻었다.

1. 半月流域의 降雨分布 様相은 χ^2 검정과 Kolmogorov-Smirnov 검정결과 Double Exponential Distribution가 適用分布型으로 인정 되었다.
2. 半月의 G-1 유역에 있어서 単位圖에 대한 objective function 値는 Nash-Model과 T-Model의 各各 0.0054 및 0.0557로서 매우 Optimization 되고 G-2 유역에서는 각각 0.0102 및 1.1511로 나타난 바 objective function 値가 相對的으로 커서 Optimization 하다고 볼 수 있다.
3. 半月流域의 T-Model을 위한 T 故은 流域特性에 左右되며, G-1 과 G-2 유역의 T 故은 各各 245.4, 533.5로서 작은 故을 가진 G-1 유역이 보다 더 Optimization 되었다.
4. 半月 G-1 유역에서의 Nash-Model에서 Convolution

Integral 을 적용한 바 Objective Function 값이 1.553997
6.6749 로 나타났고, T-Model에서는 1.536597 6.5086 으
로서 前 Model 이 초기 Optimization 단계를 보여 주었다.

5. G-2 유역에서는 Nash-Model의 Convolution Integral
을 적용한 바 Objective Function 값이 1.6198 2 1.0769
로서 역시 Optimization 되며, T-Model은 1.6798 2 91.4302
로서 前者는 Optimization 되어 後者는 不適合하다고 考
虑된다.

6. 単位圓의 Peak 流量은 Nash-Model인 경우에는 관
측치와 실측치의 Peak 流量의 오차가 半月 G-1 流域에
서 0.00 % 및 G-2 유역에서 0.94 %로 나타났고, T-Model
의 경우에는 각각 9.09 % 및 14.28 %로서 T-Model의
G-2 유역을除外하고는 모두 許容誤差範囲内 이었다.

7. 一般的으로 우리 나라의 小流域에서는 Nash-Model
의 適用성이 인정되고, 半月의 G-1 과 같은 流域傾斜
가 비교적 완만하고 樹枝形 小流域에서는 T-Model
의 적용도 가능하다고 解析 되었다.